

港湾技研資料

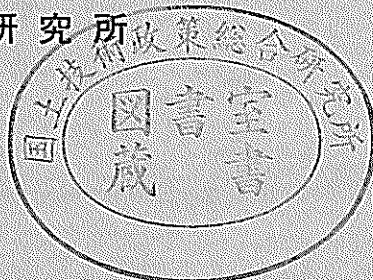
TECHNICAL NOTE OF
THE PORT AND HARBOUR RESEARCH INSTITUTE
MINISTRY OF TRANSPORT, JAPAN

No. 79 June. 1969

バケットの掘削抵抗力についての研究

菊谷 徹・早乙女保二

運輸省港湾技術研究所



バケットの掘削抵抗力についての研究

目 次

要 旨

1. まえがき	4
2. バケット浚渫船について	4
3. 実験装置の概要	4
4. 測 定 法	5
5. 実験試料と締め固め	7
6. 実験ケース	7
7. 実験結果	10
7.1 記録波形	10
7.2 最大掘削抵抗力におけるバケット角度	10
7.3 土質と最大掘削抵抗力、掘削容積効率	14
8. あとがき	23

On the experimental studies of the buckets
excavative resistance force

Tooru KIKUYA*

Yasuji SAOTOMA**

Synopsis

The purpose of this paper consisting to make clarify about the relations between the soil and the buckets excavative resistance force. This first report was made under the experimental conditions as follows.

Bucket capacity: 0.0625 m³ Soil: 4 kinds (sand with N value of 0 and 4, gravel and sand-gravel mixture) Running velocity: 0.6~5.88m/min Excavative depth: 10~40cm
Buckets revolution: 1~2rpm.

This paper made a through investigation relating buckets excavative resistance force which have connection such factors as excavating center-sectional-area, circumference of the edge, excavating length, running velocity and etc.

Within our tests, the followings were concluded,

- 1) The buckets excavative resistance force has a great influence on the excavating length.
- 2) The maximum excavative resistance force was recognized in case of mixed of sand and gravel.

* Member of Dredger and Construction Equipment Laboratory

** ex Senior Research Engineer, Machinery Division

バケットの掘削抵抗力についての研究

菊 谷 徹*

早乙女 保 二**

要 旨

最近の港湾は経済成長に伴って広域化し、従来、特に土質が硬く利用でき得なかった地域にも積極的に建設が押し進められている。また船舶の大型化に対して航路の拡幅、増深の浚渫工事が日夜行なわれている状況である。このような背景のもとに硬土盤地域での浚渫工事が増加するにつれて、土質と掘削抵抗力の関係の解明が、今後の新船の設計、在来船の改善等に必要になってきている。土質と掘削抵抗力の関係を求めるには、実船において行なわれているが、種々の面で困難なようである。

本報告は、土質と掘削抵抗力のうちで、バケットとについての関係を求めるために実験したものである。

模型実験は現地と同様な土質、バケット形状、掘削方法で行なえば非常に有効であるのだが、実験では次のような条件で行なったバケット容量 (0.0625m^3)、土質は4種類（砂N値0、砂N値4、砂利、砂と砂利の混合、走行速度 $0.6\sim5.88\text{m/min}$ 、掘削深さ $10\sim40\text{cm}$ 、バケット回転数 1, 2 rpm の条件にて実験し掘削抵抗力を求めたものである。

実験結果として掘削抵抗力は上記4種類の土質のうちで砂と砂利の混合が最大である、掘削抵抗力は掘削長さに影響されること等が求められた。

*機材部 作業船研究室

**前機材部 主任研究官

1. まえがき

本実験は、寸法縮尺1/2、容量0.0625m³（鎮西丸型式）のバケット3個を使用し、土質と掘削抵抗力との関係について求めるために実験したものである。

実験は、土質4種類、台車走行速度、バケット回転数、掘削深さを変えて行った。

そこで掘削抵抗力に因ると思われる掘削側面積、掘削長さ、掘削容積効率等の関連を求めた。

今回の報告では上記の関係について求めたものであり、理論的な考察は行なっていない。

2. バケット浚渫船について

バケット浚渫船について若干の紹介を述べてみよう。本船は明治の初期より横浜港、関門海峡等において浚渫工事を従事している。当時の原動機はスチームであり、船型は高位型であるため復原性の関係より比較的大型とならざるを得なかった。

しかし最近ではシートがベルトコンベアに換わった

ために、上部タンブラーの位置を低くする（低位型）ことが可能になり船型が小型になってきている。また、スイングの際に船体傾斜を防止するために、スイングワイヤーの船首両玄用は、ラダー先端の滑車を介して水中で水平にひかれ、船尾両玄用は、上下動可能なクリスマスツリーの滑車によって張られているので引船、土運船等の接舷、移動が円滑にゆくようになっている。

駆動方式は、ディーゼルエンジンとトルクコンバータを組み合せたもの、ディーゼルエレクトリック等となり、甲板機械も油圧、電動機が使用されている。

浚渫機構の主エレメントは、バケット（バケットライン）、ラーダーフレーム、ラダーウインチ、スイングウインチ等である。バケットラインはラーダーフレームの周囲に設けられ、ラダー上方のタンブラーによって駆動され、連続的に回転しながら浚渫作業を行なう。バケットラインには、40~70前後のバケット（容量0.24~0.8m³）がつけられている。

以上がバケット浚渫船の概要であるが表-1に自航バケット浚渫船の浚渫馬力、バケット容量等を示す。

表-1 自航バケット浚渫船の主要目

船名	総屯数 (排水屯)	浚渫馬力 kW	実浚渫能力 m ³ /H	バケツ			毎分通過数
				数	容量 m ³	毎分通過数	
太平丸	384	—	250	58	0.24	36	
東北丸	429	—	130	38	0.5	16	
衣笠丸	440	400	220	66	0.32	36	
野毛丸	837	—	289	72	0.5	37	
西海丸	1,007	700	250	43	0.7	14	
第2鎮西丸	825	400	250~600	69	0.5	30	
鎮西丸	826	400	110~270	68	0.5	30	
九州丸	1,002	500	400	40	0.8	18	

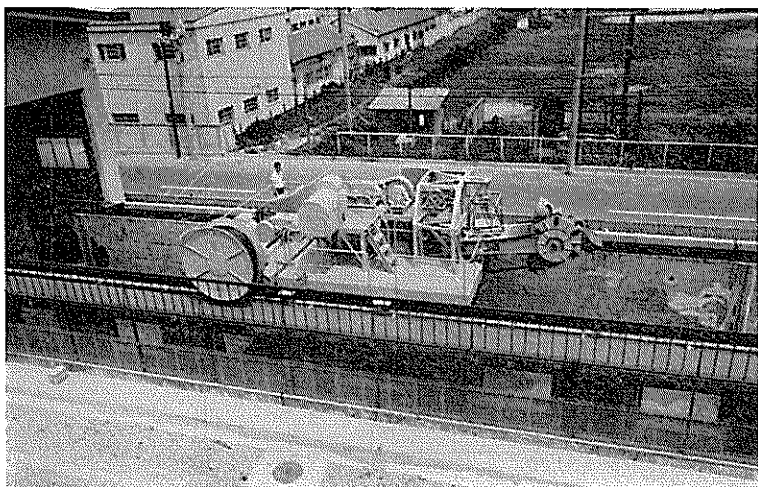
3. 実験装置の概要

詳細については文献¹⁾に示す。本装置はバケット実験車、操縦車、走行レール、砂槽より構成されている。実験車には、容量0.0625m³のバケット3個がラダー先端のタンブラーに取り付けられ、回転、前進し掘削を行なう。バケット回転数は1~10rpm、バケット駆動電動機は30kW、自重は約11.4tである。操縦車は実験車をけん引する専用車であり、走行速度は0.6~60m/min、駆

動方式はラックピニオン式である。走行電動機は11kW、自重は約4.3tである。砂槽は長さ50m、巾、深さともに4mである。なお写真-1に実験装置の全体を示す。

本装置が実際のバケット浚渫船と異なる点は、バケットによって掘削された土砂は運び上げられることなく、タンブラーの回転に伴って後方に捨てられる。浚渫作業はスイングしながら行なうので、バケット側面掘削であるが、本装置では正面掘削である。

使用バケットは、容量0.0625m³、重量約300kgの鉄鋼



写真一 実 装 置 全 体

→ d (cm)

製バケットである。バケット正面形状は梢円状をなし、バケット周囲の口金部板厚は26mmである。

図-1にバケット深さと周長の関係、図-2にバケット深さと正面積との関係を示す。

4. 測 定 法

図-3に示すようにラダー支点近くの5tロードセル、ラダー俯仰ワイヤーシーブ上部の10tロードセルおよびバケット回転駆動電動機軸端のトルク計の3個所で測定される。図-3にて記号を次のように決める。

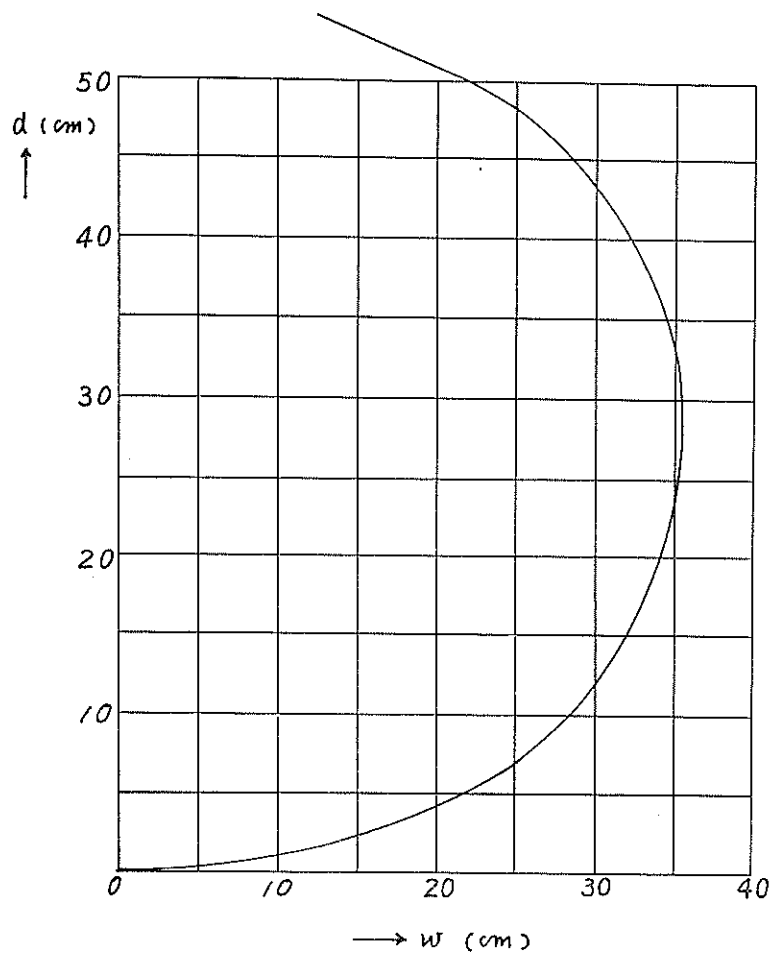
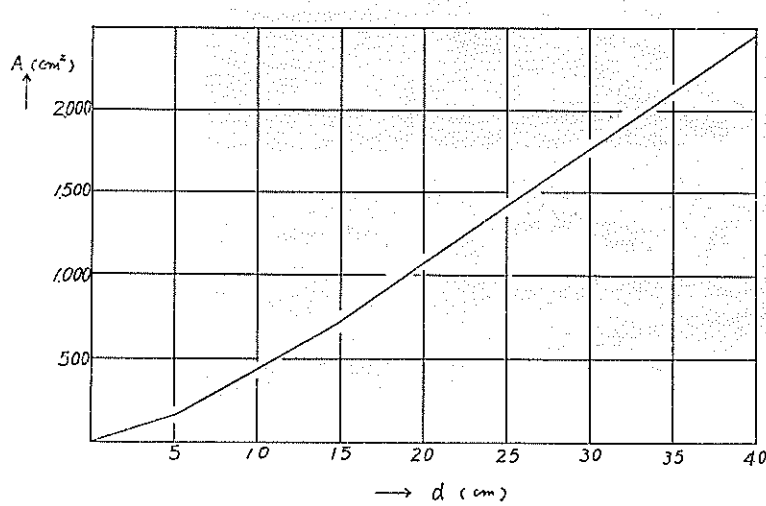


図-1 バケット深さと周長の関係



$v: 4.08 \text{ m/min}$ $d: 10 \text{ cm}$

図-2 バケット深さと正面積

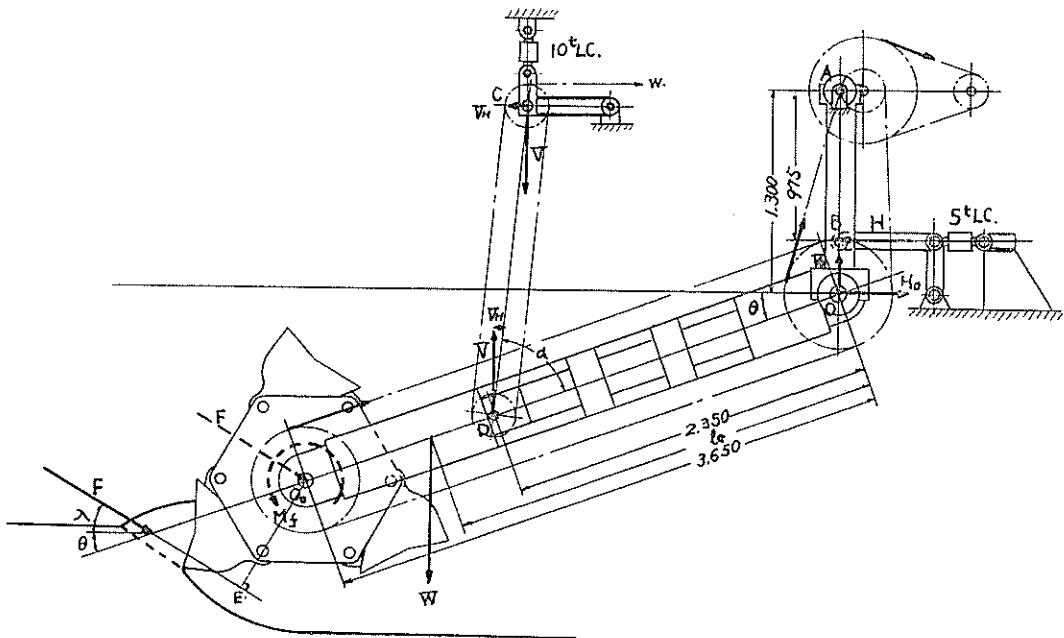


図-3 挖削抵抗測定法

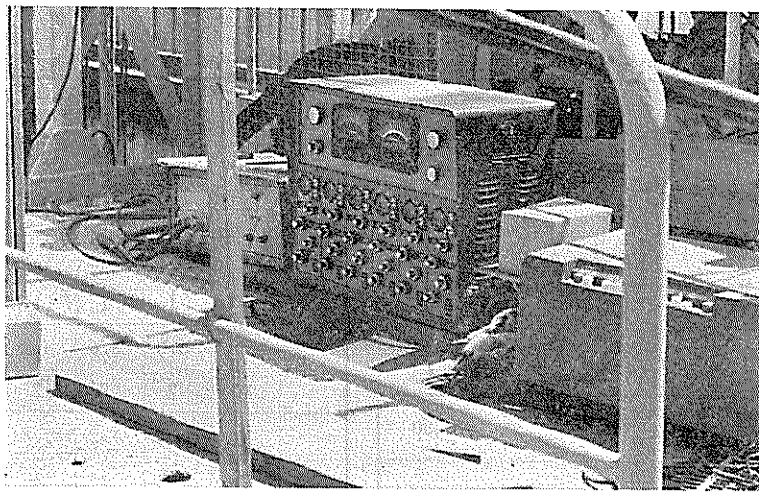


写真-2 測定機器（ストレンメータ・オシログラフ）

F : 挖削抵抗力 (kg)

λ : 挖削抵抗力の方向角 (度)

V : ラダー俯仰ワイヤーの垂直分力 (kg)

V_H : 同上の水平分力 (kg)

α : ラダー俯仰ワイヤーとラダーのなす角 (度)

H : 水平ロードセルの測定値 (kg)

M_f : 挖削抵抗トルク (kg-m)

W : ラダー、バケット、チェン等の重量 (kg)

ℓ_G : 同上のラダー支点よりの重心距離 (m)

θ : ラダー傾斜角 (度)

自重を無視して、A点に関するモーメントの釣合いから

$$F \{3.65 \sin(\lambda + \theta) + 1.30 \cos \lambda\} + V_H(1.30 + 2.35 \sin \theta) + M_f - 2.35V \cos \theta - 0.975H = 0 \quad 1)$$

0点に関するモーメントの釣合いから

$$3.65F \cos \lambda + 1.30V_H + M_f - 0.975H = 0 \quad 2)$$

1), 2)式より

$$1.30F \cos \lambda + 1.30V_H + M_f - 0.975H = 0 \quad 3)$$

ここで掘削抵抗水平分力を

$$F \cos \lambda = F_H \quad V_H = V \cot(\alpha + \theta)$$

であるから、掘削抵抗水平分力 F_H は、

$$F_H = \frac{3}{4}H - V \cot(\alpha + \theta) - \frac{M_f}{1.30} \quad 4)$$

α と θ との関係は実用範囲にて

$$\alpha^\circ = 73^\circ 42' - 0.490^\circ \quad 5)$$

従って H , V , M_f , θ , の測定値より F_H の計算ができる。掘削抵抗垂直分力 F_V は 2) 式より、

$$F_V = 0.644 \{1 - \cot(\alpha + \theta) \tan \theta\} V - F_H \tan \theta \quad 6)$$

以上の式より求められる。

5. 実験試料と締め固め

実験試料は現地状態と同様の土質のものが望ましいのであるが、再現性の難により行なえないので、砂N値0 砂N値4, 砂利, 砂と砂利の混合の4種類で行なった。砂N値4の状態は、標準貫入試験器でチェックし、所定の値になるようタイヤローラで締め固めた。砂N値0の状態は、砂表面まで水を入れ、あらかじめ掘削した後の軟らかい状態である。砂利はズリ含みで最大径4cm, 締め固めは行なっていない。

混合は、砂利、砂の重量比が 2.5:1 であり、タイヤローラで十分締め固めた状態である。砂は江の島西浜海岸のもので、自然状態にて比重2.65、間隙率0.77。

なお、締め固めに使用したタイヤローラの自重は約5t である。

6. 実験ケース

実験ケースは、1つの土質について台車走行速度、掘削深さ、バケット回転数を組み合わせて行なえば、数多く考えられるのであるが、土質から受ける掘削抵抗力が不明のために次の条件にて行なった。

実験試料 砂利、混合、砂N値0、砂N値4

台車走行速度 0.6~5.88m/min (v)

掘削深さ 10~40cm (d)

バケット回転数 1, 2rpm (n)

表-2には各土質についての実験ケースを示す。

以上の実験ケースから掘削長 (ℓ_o)、掘削中央断面積 (As)、理論掘削容積 (V)、を求めることができる。

図-3' に掘削軌跡を示す。

砂利

表-2 各土質の実験ケース

d	15	20	25	30
v	2.94	2.28	1.8	1.44
n	1	1	1	1

d		(段階速度)				
		v	1.2	2.4	3.6	4.8
10	v	1.2	1	1	1	1
	n	0.6	1.2	1.8	2.4	3.0
20	v	1	1	1	1	1
	n	3.0	3.6	4.2		
30	v	2	2	2		
	n	0.6	1.2	1.8	2.1	
	v	1	1	1	1	
	n	1.8	2.4	3.0	3.6	
	v	2	2	2	2	

混合

d	10	15	20	25	30
v	4.08	2.94	2.28	1.8	1.44
n	1	1	1	1	1

砂 N: 4 (基準速度)

d	10	15	20	25	30	35	40
v	4.08	2.94	2.28	1.8	1.44	1.2	1.02
n	1	1	1	1	1	1	1
v		5.88	4.56	3.6	2.88	2.4	
n		2	2	2	2	2	

砂N: 0

d	10	15	20	25	30	35	40
v	4.08	2.94	2.28	1.8	1.44	1.2	1.02
n	1	1	1	1	1	1	1

10	v	1.2	2.4	3.6	4.8
	n	1	1	1	1
20	v	0.6	1.2	1.8	2.4
	n	1	1	1	1
30	v	0.6	1.2	1.8	2.1
	n	1	1	1	1

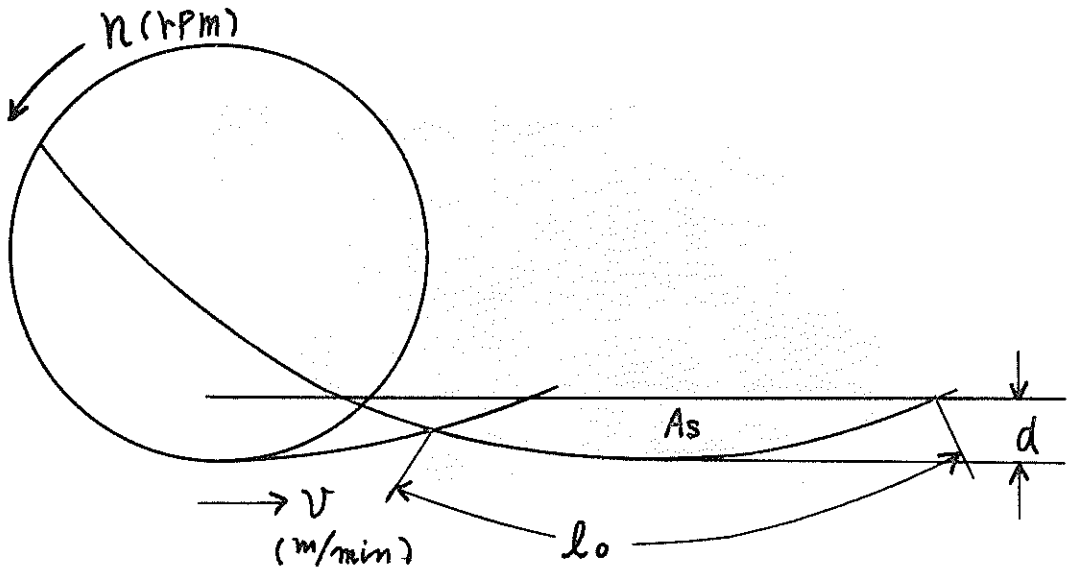


図-3' バケット掘削軌跡

図-3'にて、 n ：バケット回転数 v ：台車走行速度
 $A_s/l_o = \ell_{mean}$ 掘削平均深さを示す。

掘削軌跡は次式で示される。

$$x = r \sin wt + vt \quad y = r \cos wt$$

上式で w ：バケット角速度 rad/sec r ：タンブラー中心よりバケット刃先までの距離

ℓ_o, A_s は上式と d の関係より求めた。

v は掘削軌跡、図-2のバケット面積曲線とシンプソン第1則から求めた。

シンプソン第1則は、求めようとする物体の長さを偶数に等分して各分点における垂直切断面積を求め、下式

を適用した。

$$V = \frac{h}{3} (A_1 + 4A_2 + 2A_3 + 4A_4 + \dots + A_n)$$

h ：各切断面積間の間隔

図-2より切断面積 A (cm²) とバケット深さ d (cm)との関係は次式の通りである。

$$d < 15 \quad A = 70d - 320$$

$$5 < d < 15 \quad A = 56d - 110$$

$$d < 5 \quad A = 34d$$

表-3に各実験ケースにおける $\ell_o, A_s, \ell_{mean}, V$ を示す。

表-3 各実験ケースにおける ℓ_o, A_s 等について

d	v	ℓ_o	A_s	ℓ_{mean}	V
10	4.08	136	1,047	7.7	0.0351
15	2.94	124	1,150	9.3	0.0614
20	2.28	124	1,336	10.8	0.0661
25	1.8	120	1,440	12	0.071
30	1.44	120	1,452	12.1	0.0758
35	1.2	114	1,280	11.2	0.0712
40	1.02	116	1,330	11.5	0.0646

d	v	ℓ_o	A_s	ℓ_{mean}	V
10	1.2	68	344	5.1	0.0373
	2.4	100	738	7.4	0.038
	3.6	134	948	7.1	0.0394
	4.8	146	1,060	7.3	0.0394

d	v	ℓ_o	A_s	ℓ_{mean}	V
20	0.6	60	208	3.5	0.0178
	1.2	90	704	7.8	0.0315
	1.8	110	1,130	10.3	0.0542
	2.4	124	1,540	12.0	0.0754

d	v	ℓ_o	A_s	ℓ_{mean}	V
30	0.6	80	408	5.1	0.0276
	1.2	108	1,080	10	0.0502
	1.8	128	1,750	13.7	0.0924
	2.1	135	2,025	9.7	0.103

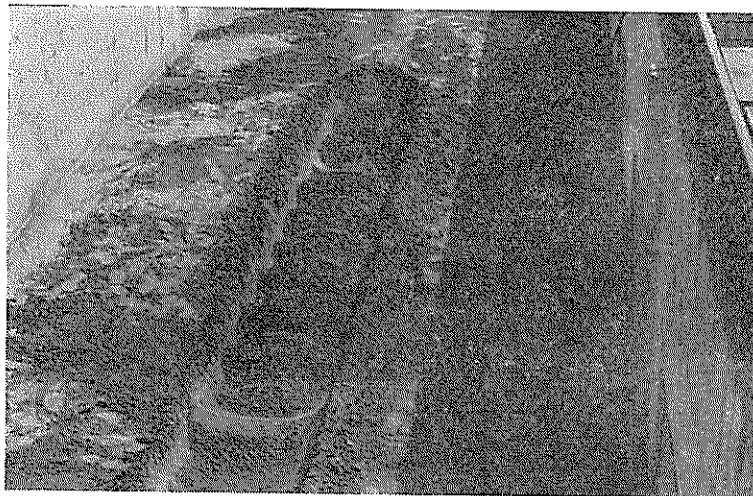


写真-3 実験終了後の掘削状況

7. 実験結果

測定法の項で述べたように測定項目は、垂直ロードセル、水平ロードセル、掘削抵抗トルクの3点である。

これらは各々ストレインメータを経由して電磁オシログラフで記録した。各記録の読みとりは、パケット10個分の最高点の平均値を求めた。写真3～9に実験写真を示す。

7.1 記録波形

図-4、図-5に砂N値0、砂利の記録波形を示す。単に記録波形のみから方向をみると、垂直ロードセルは引張方向に、水平ロードセルには圧縮方向の力が出ている。波形からわかるように、砂利の垂直ロードセルでは、パケットが砂利にくい込む時に圧縮方向（上向き）の力が作用し、次に土質に引き込まれて零点にもどるということがある。混合では、砂利ほど顕著に出てないが若干は見受けられる。砂N値0では、ほとんど見られない。

7.2 最大掘削抵抗力におけるパケット角度

掘削抵抗力は波形の最高点を求めるのであるが、次にこの時のパケット角度を求めてみる。

この方法は、パケット掘削軌跡よりパケットの2個目が地盤に接触する角度を求め、(図-6の100cmRは、パケット先端とタンブラー中心間距離) この角度を記録波形の変化する始点として求めた。

図-6に地盤接触角度の求め方を、図-7、図-8に最大掘削抵抗力におけるパケット角度を示す。



写真-4 実験終了後の状況



写真-5 挖削時の側面状態

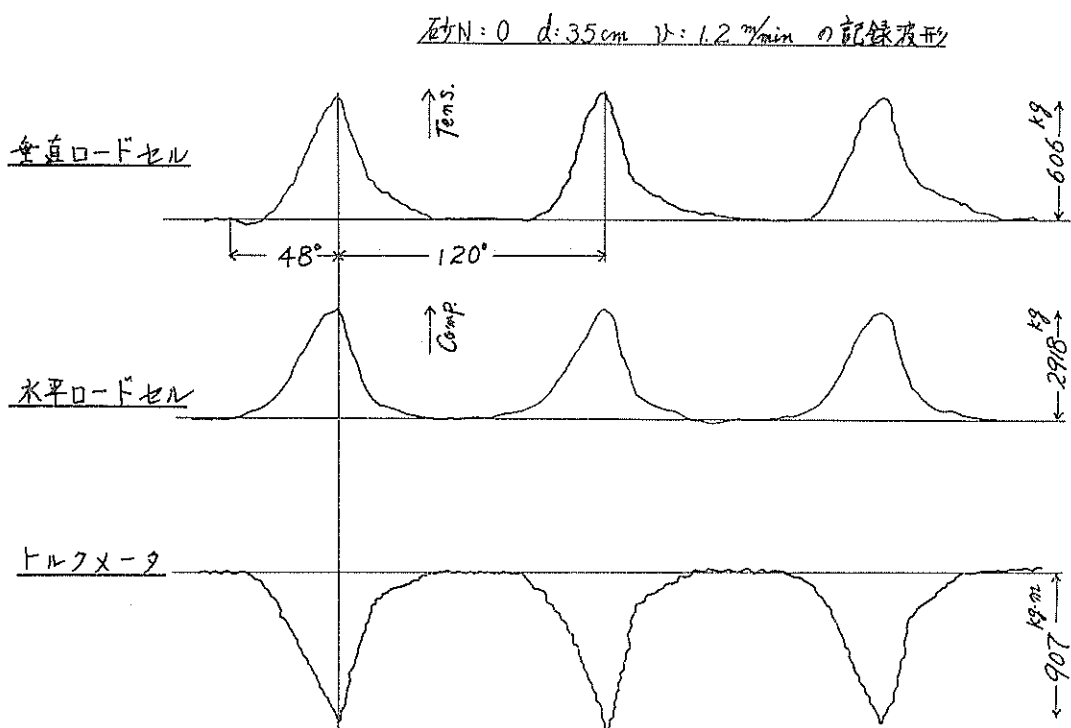


図-4 記録 波 形, 砂N値0

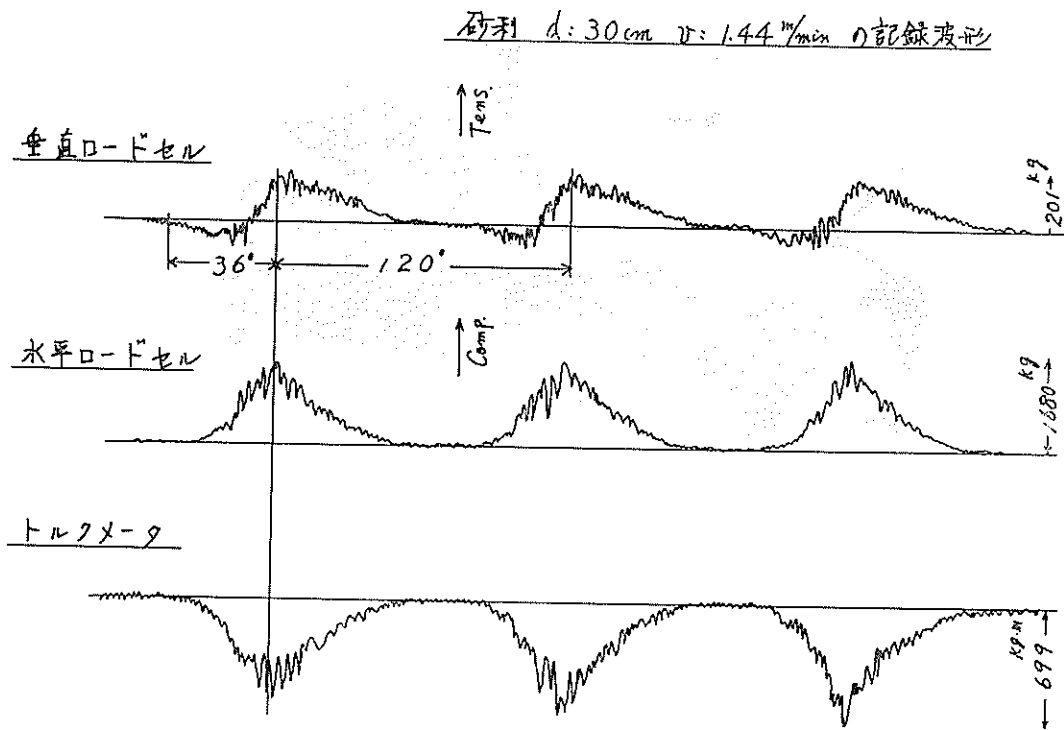


図-5 記録波形 砂利

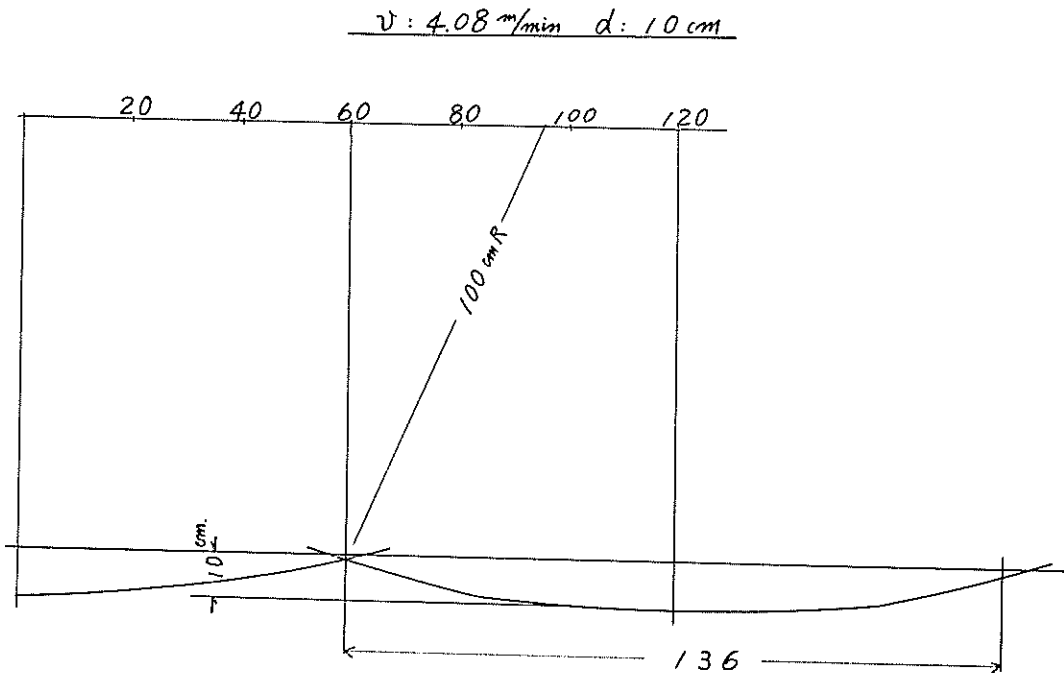


図-6 地盤接觸角の求め方

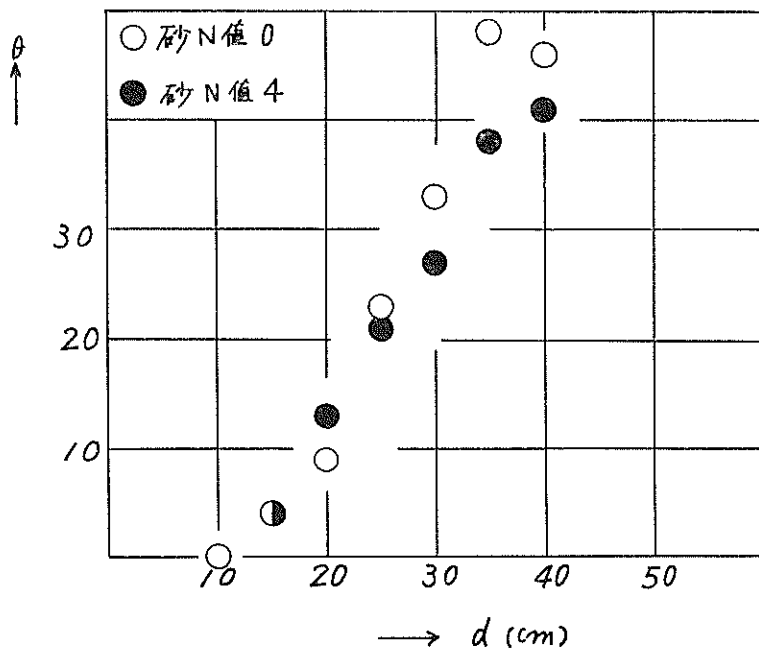


図-7 最大掘削抵抗力におけるパケット角度

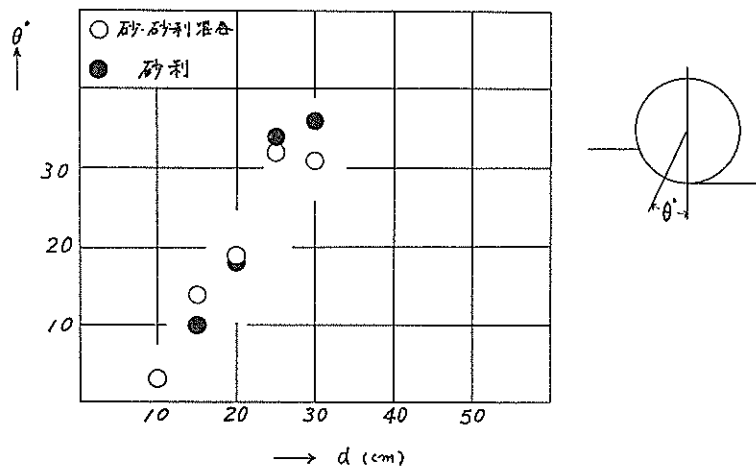


図-8 最大掘削抵抗力におけるパケット角度

7.3 土質と最大掘削抵抗力、掘削容積効率

最大掘削抵抗力の計算は、測定法の諸式によって求めた。各力の方向は、掘削抵抗垂直分力(F_V)は圧縮方向(上質より上向き)、掘削抵抗水平分力(F_H)は圧縮方向(バケット進行方向より)である。

最大掘削抵抗力(F_T)は次式より求めた。

$$F_T = \sqrt{F_V^2 + F_H^2}$$

図-9は砂N値0における F_V ~ F_H の関係を示す。

表-4に基準速度における F_T を示す。表-4からわかるように混合の F_T は、4種類のうちで最も大きく他の土質の2~3倍の値となっている。

図-10、図-11は、砂利、砂N値0の段階速度における F_T の関係をプロットしたものである。

図-12、図-13は、砂利、砂N値0の掘削長さと F_T の関係を示す。図-14、図-15は、砂利、砂N値0の掘削平均深さと F_T の関係を示す。

表-4 土質と最大掘削抵抗力

		土質の種類による F_T (kg)							
n	v m/min	d cm	砂N: 0	砂N: 4	砂利	混合	n	v m/min	砂N: 4
1	4.08	10	672	400		1,659			
1	2.94	15	667	652	553	2,130	2	5.88	1,139
1	2.28	20	775	613	658	1,842	2	4.56	923
1	1.80	25	763	547	723	1,951	2	3.6	1,016
1	1.44	30	722	446	705	1,702	2	2.88	1,029
1	1.2	35	1,416	745			2	2.4	703
1	1.02	40	542	431					

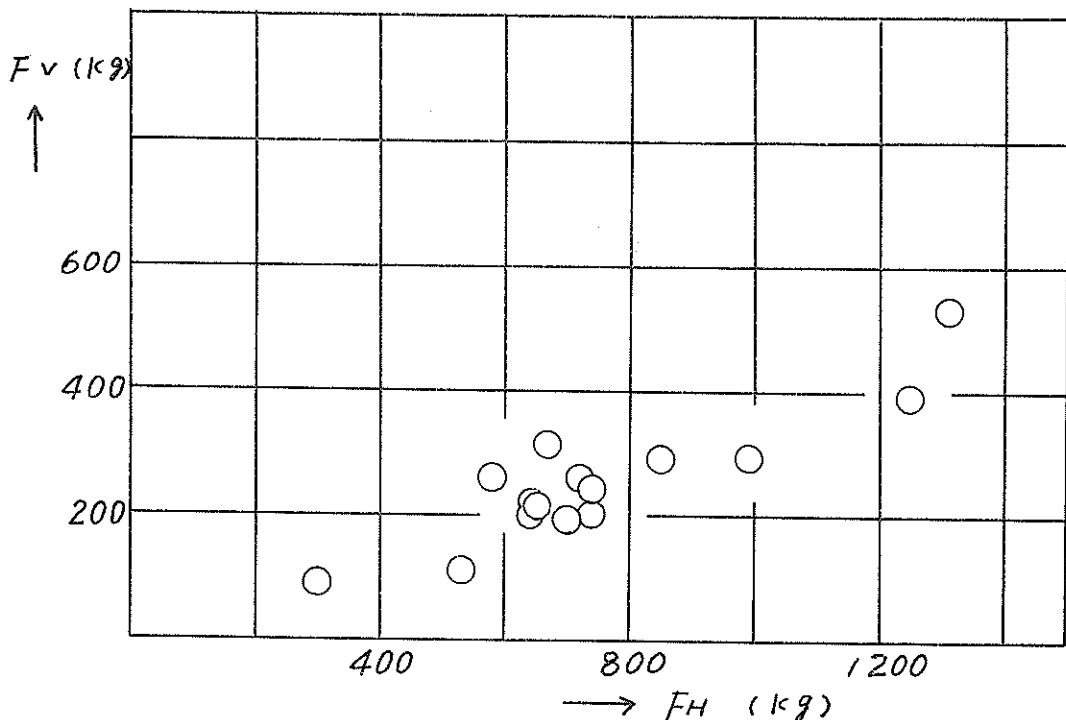


図-9 砂N値0 F_V ~ F_H

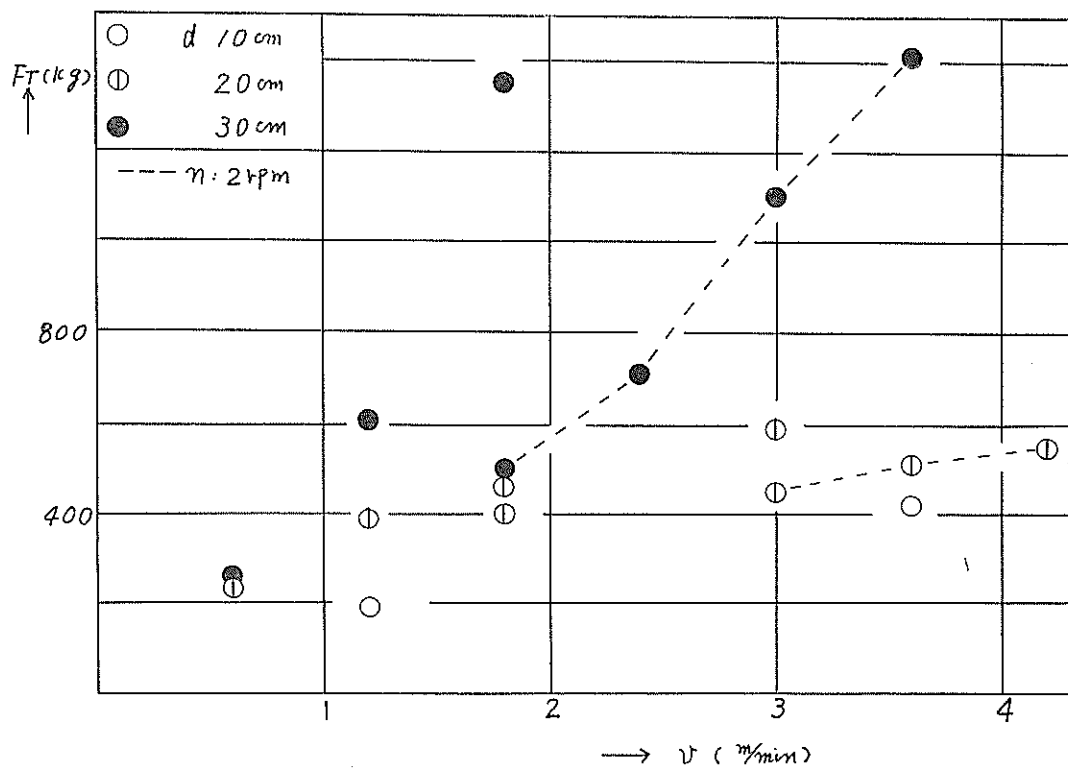


図-10 砂 利 $F_T \sim v$

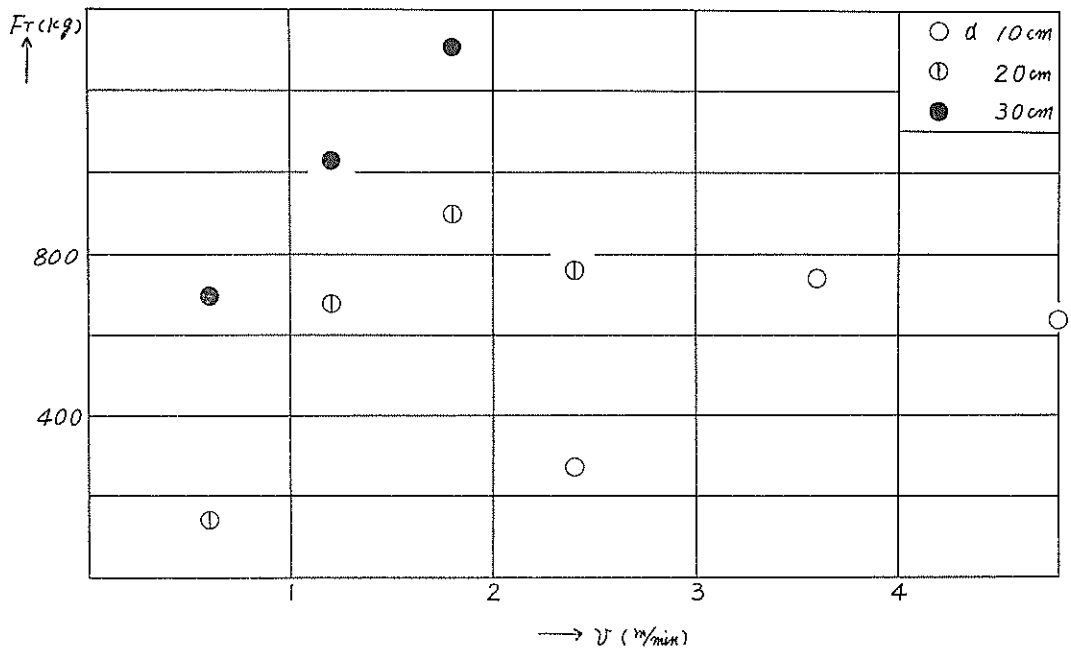


図-11 砂N値0 $F_T \sim v$

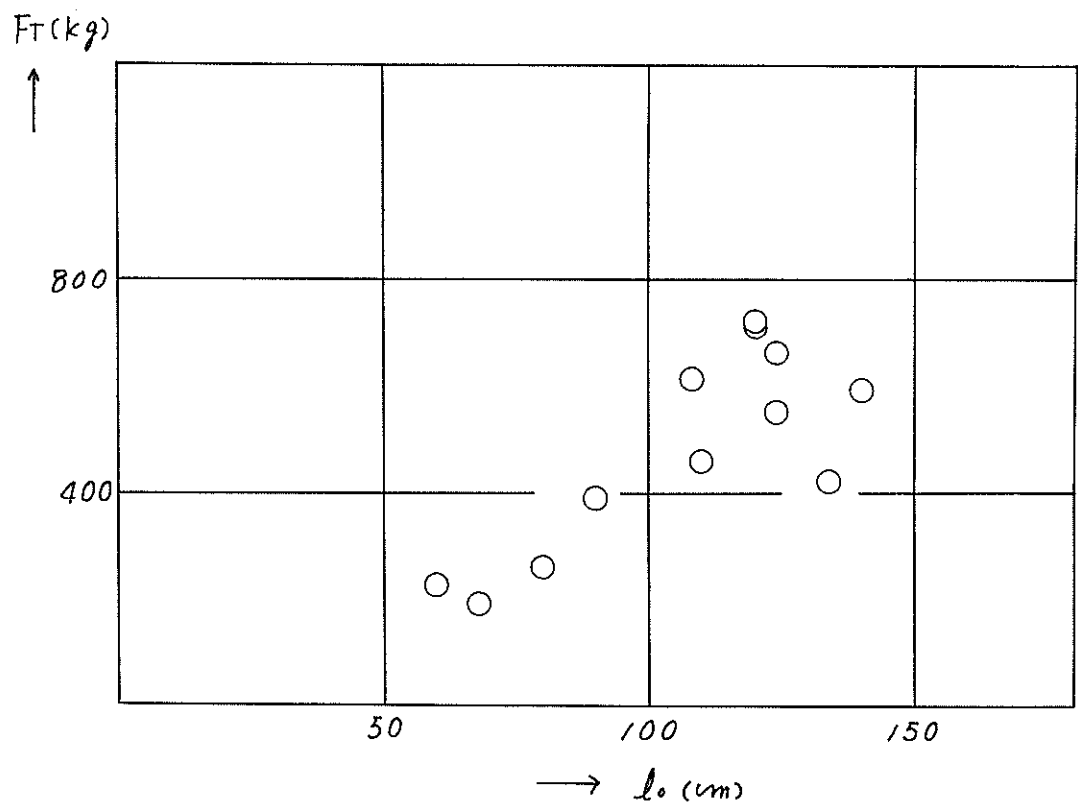


図-12 砂 利 $F_T \sim \ell_0$

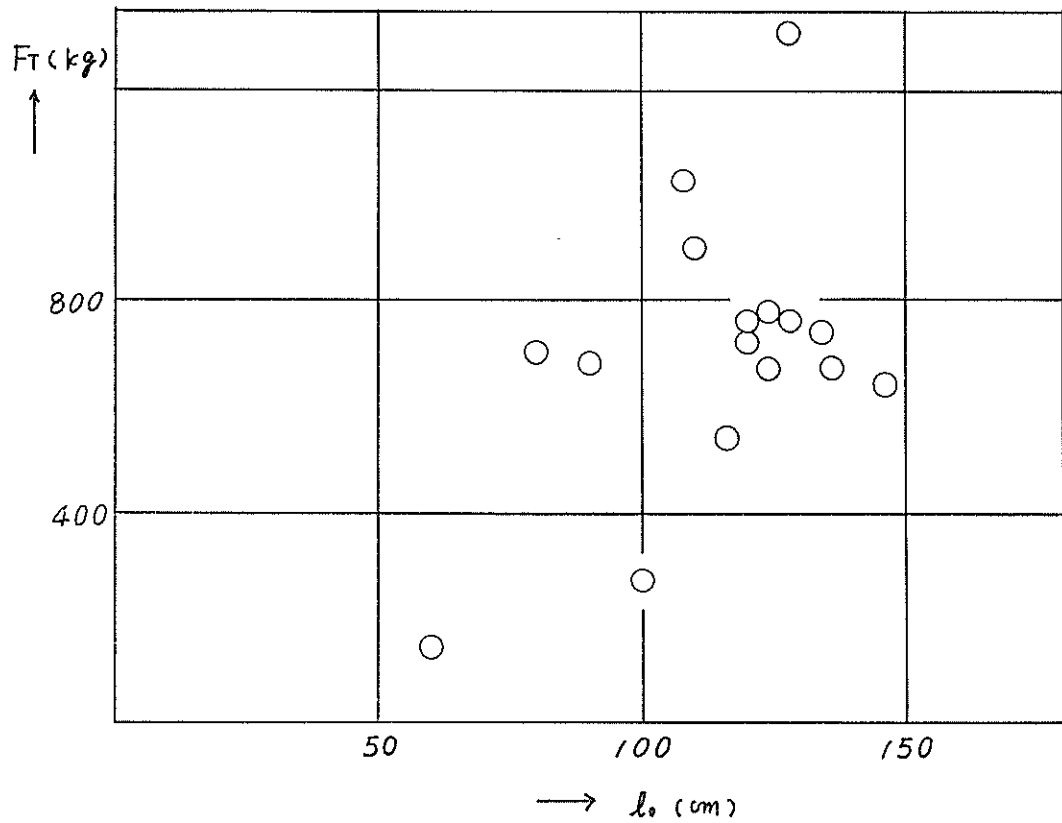


図-13 砂N値0 $F_T \sim l_0$

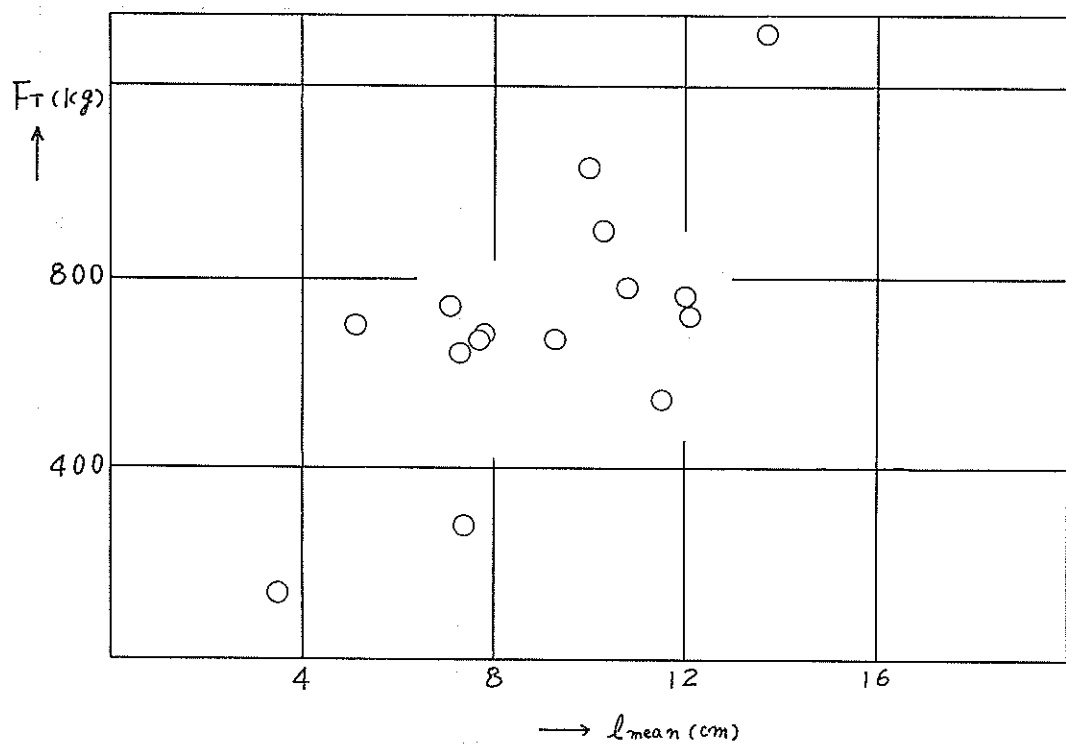


図-14 砂N値0 $F_S \sim l_{\text{mean}}$

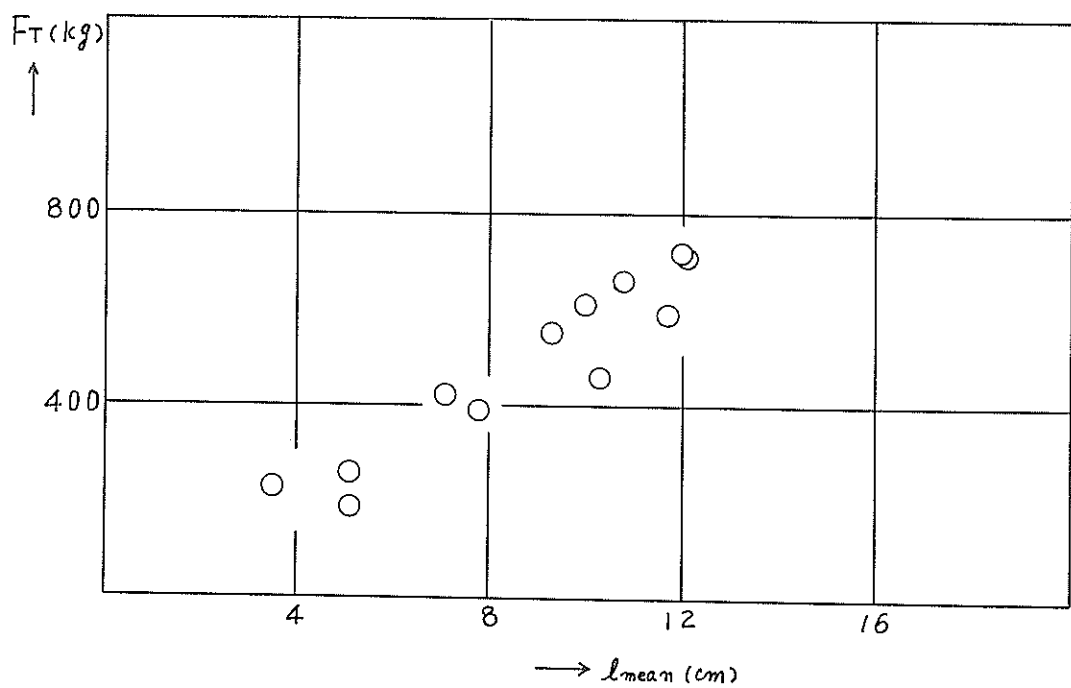


図-15 砂利 $F_T \sim l_{\text{mean}}$

図-16は砂利の掘削容積効率と F_T の関係を示す。
なお掘削容積効率と図-17以降に出てくるすくい込み効率は次のとおりである。

$$\begin{aligned} \text{掘削容積効率} &= \frac{\text{実際にバケット内に入った土量}}{\text{理論掘削容積}} \\ &= \frac{V_o}{V} \end{aligned}$$

$$\begin{aligned} \text{すくい込み効率} &= \frac{\text{実際にバケット内に入った土量}}{\text{バケット容積}} \\ &= \frac{V_o}{0.0625} = V_t \end{aligned}$$

にて表わすものとする。

さて4土質の掘削容積効率を基準速度について比較すると、砂N値0の91%，砂N値4の85%，混合の69%，最も低いのが砂利の49%となっている。

図-17～19は F_T とすくい込み効率の関係について、砂利、砂N値0、砂N値4をプロットしたものである。これらの図からケースによっては、すくい込み効率が増大すると F_T も大きくなることもあるが、全体的には、はっきりした傾向はつかめなかった。

表-5には実験ケースの結果を示し、 F_V 、 F_H 、 F_T 、掘削容積効率、すくい込み効率をあげた。

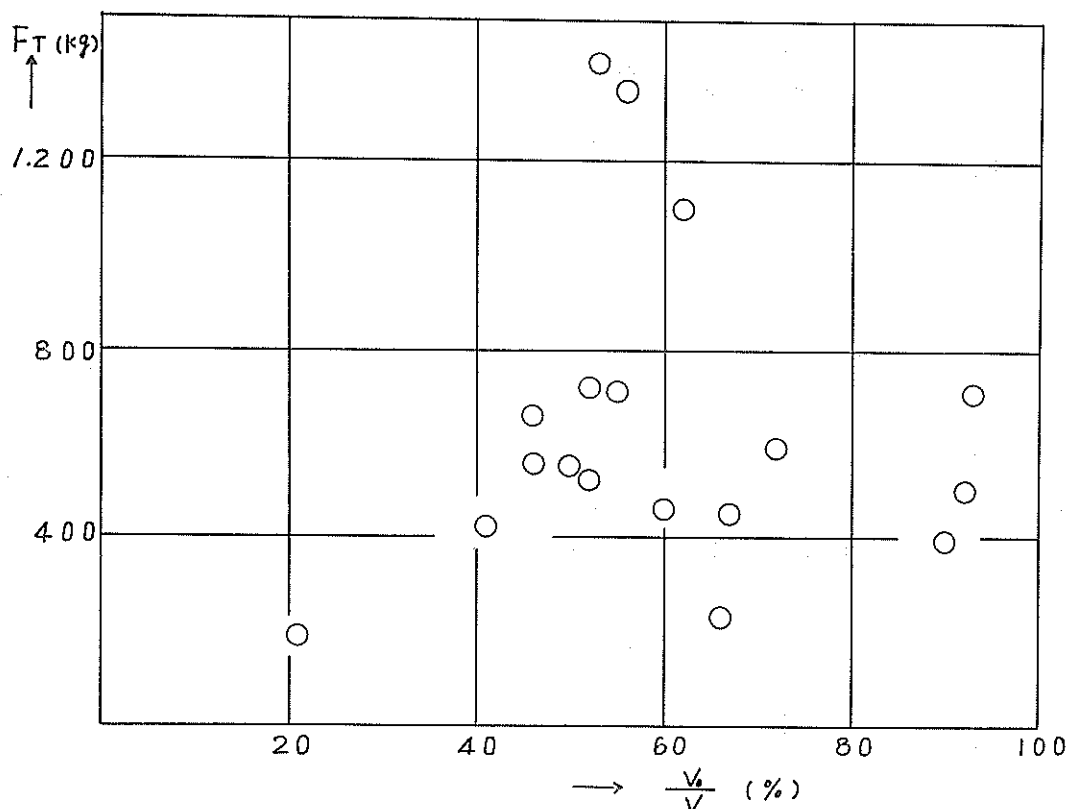


図-16 砂利 F_T ～掘削容積効率

表-5 実験結果

d (cm)	v (m/min)	n (rpm)	砂 N : O					砂 利					
			F _V (kg)	F _H (kg)	F _T (kg)	V _t (%)	V _o /V (%)	F _V (kg)	F _H (kg)	F _T (kg)	V _t (%)	V _o /V (%)	
10	4.08	1	197	642	672	83	147						
15	2.94	1	218	630	667	75	76	199	516	553	45	46	
20	2.28	1	243	736	775	90	86	264	603	658	49	46	
25	1.8	1	260	717	763	94	83	237	683	723	60	52	
30	1.44	1	190	697	722	87	72	241	663	705	67	55	
35	1.2	1	530	1,313	1,416	100	88						
40	1.02	1	112	530	542	90	88						
15	5.88	2											
20	4.56	2											
25	3.6	2											
30	2.88	2											
35	2.4	2											
10	1.2	1						55	178	186	12	21	
	2.4	1	93	253	270	45	75						
	3.6	1	313	670	740	71	113	113	407	422	42	41	
	4.8	1	259	582	637	49	77						
20	0.6	1	110	84	138	29	103	73	221	233	23	66	
	1.2	1	210	649	682	39	77	120	370	389	45	90	
	1.8	1	285	854	900	52	60	151	425	462	52	60	
	2.4	1	197	736	762	79	65	211	555	594	60	50	
	3.0	2						124	436	453	49	67	
	3.6	2						141	490	510	45	52	
	4.2	2						159	535	549	52	50	
30	0.6	1	234	656	697	56	126	64	252	260	75	170	
	1.2	1	287	991	1,032	67	84	207	569	605	60	74	
	1.8	1	392	1,247	1,307	90	61	488	1,259	1,350	83	56	
	2.1	1	140	226	266	100	61						
	1.8	2						66	495	499	63	92	
	2.4	2						152	695	711	75	93	
	3.0	2							359	1,041	1,098	75	62
	3.6	2							498	1,317	1,408	79	53

d (cm)	v (m/min)	n (rpm)	砂 N : 4					砂・砂利混合				
			F _V (kg)	F _H (kg)	F _T (kg)	V _t (%)	V _o /V	F _V	F _H	F _T	V _t	V _o /V _o
10	4.08	1	143	374	400	60	106	736	1,487	1,659	55	98
15	2.94	1	243	605	652	79	80	720	2,004	2,130	87	88
20	2.28	1	239	573	613	98	85	626	1,732	1,842	100	95
25	1.8	1	204	508	547	90	87	664	1,853	1,951	36	31
30	1.44	1	147	421	446	75	62	496	1,628	1,702	39	32
35	1.2	1	282	690	745	87	76					
40	1.02	1	85	422	431	100	97					
15	5.88	2	386	1,085	1,139	63	65					
20	4.56	2	334	860	923	83	78					
25	3.6	2	408	930	1,016	90	80					
30	2.88	2	243	688	730							
35	2.4	2	234	663	703							

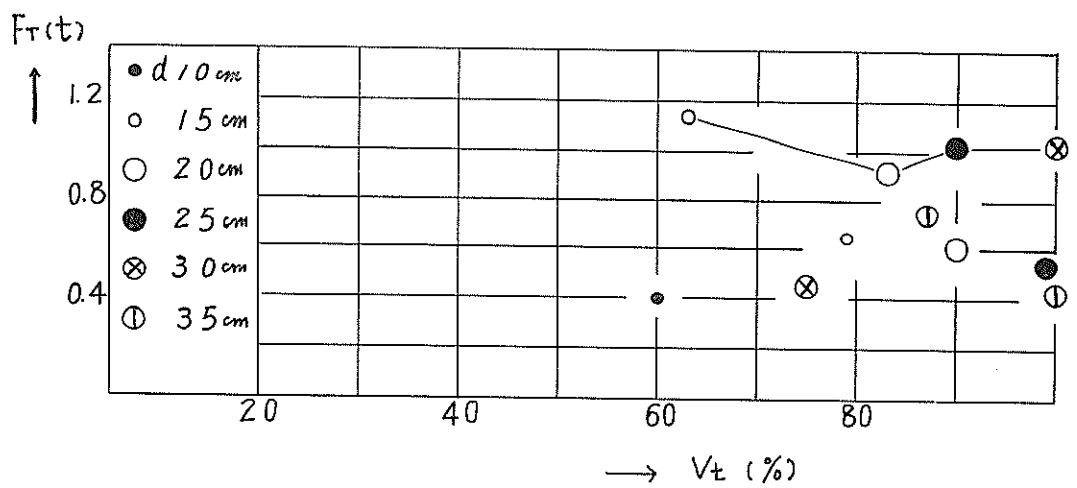


図-17 砂N値4 F_r ～すくい込み効率

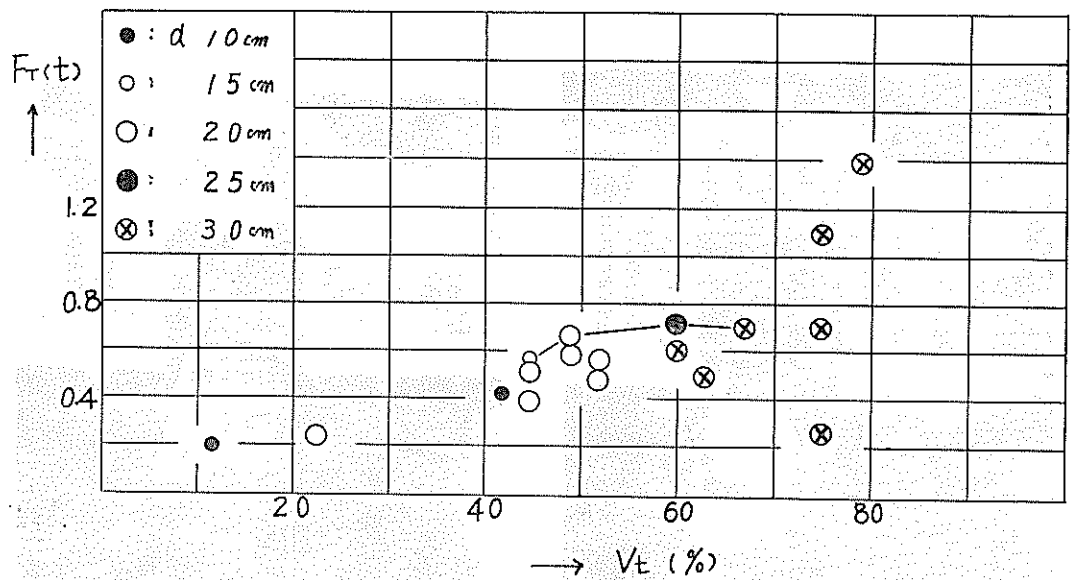


図-18 砂利 F_r ～すくい込み効率

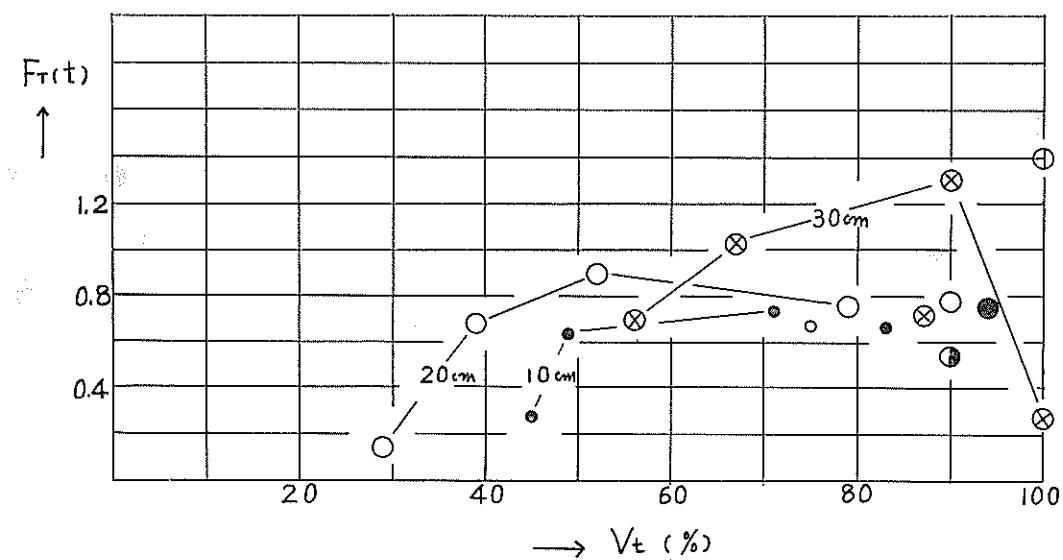


図-19 砂N値0 F_r ～すくい込効率



写真-6 砂N値4における実験状況

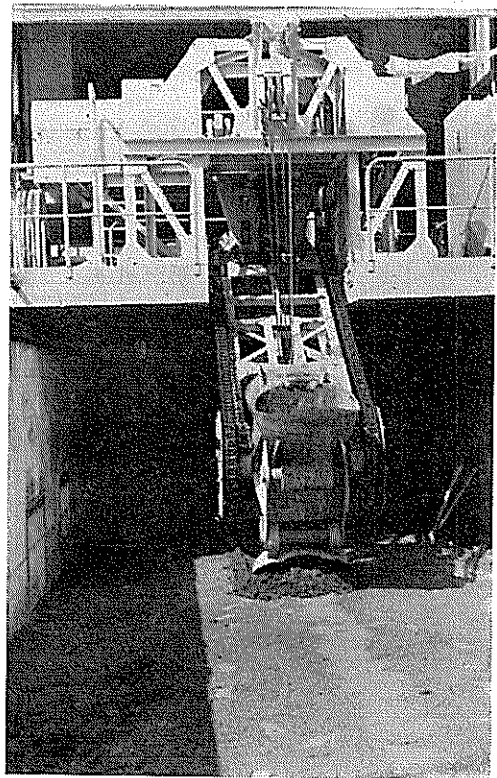


写真-砂N値4における実験状況



写真一8 砂N値4における実験状況



写真一9 砂N値4における実験状況

8. あとがき

バケットの掘削抵抗力は、台車走行速度、バケット回転数、掘削深さを変化させると、付随的に掘削長さ、掘削中央断面積、理論掘削容積、掘削平均深さ、バケット刃縁長、バケット掘削平面積が求まる。

本実験は台車走行速度 0.6~5.88m/min, バケット回転数 1, 2rpm, 土質は砂N値0, 砂N値4, 砂利, 混合の4種類の範囲である。

本報告では、前項と掘削抵抗力との関係について図化

し、傾向をみるととめた。

この結果、最大掘削抵抗力は前項のうち掘削長さに大きく影響されること、混合（砂、砂利）が最も大であることが求められた。

文献 1) 早乙女、菊谷、石塚

大型浚渫実験装置の設計概要について
港湾技研資料 No. 38 1967年

(1969. 4. 7. 受付)

港湾技研資料 No. 79

1969・6

編集兼発行人 運輸省港湾技術研究所

発行所 運輸省港湾技術研究所
横須賀市長瀬3丁目1番1号

印刷所 大洋印刷産業株式会社
東京都千代田区丸ノ内2-20

Published by the Port and Harbour Research Institute
Nagase, Yokosuka, Japan.